



## طراحی، ساخت و ارزیابی طرح بهینه گاوآهن کج ساق به منظور افزایش راندمان مصرف انرژی (۷۵)

رامین جعفری<sup>۱</sup>، تیمور توکلی هشجین<sup>۲</sup>، محمد حسین روثفت<sup>۳</sup>

### چکیده

هدف از تحقیق حاضر طراحی، ساخت و ارزیابی طرح جدید و بهینه گاوآهن کج ساق به منظور کاهش انرژی مصرفی در کشش گاوآهن می باشد. تفاوت اصلی بین طرح مرسوم و بهینه گاوآهن کج ساق، در زاویه لبه برنده تیغه و خط عمود بر ساقه گاوآهن می باشد. در طرح جدید با چرخش تیغه حول محور عمود بر خط اشتراک ساقه و تیغه به میزان  $180^{\circ}$  درجه، زاویه لبه برنده و محور عمود بر ساقه منفی شده که سبب گسترش ترک های کششی در خاک و کاهش نیروی مقاومت کششی گاوآهن می گردد. آزمایشات انجام شده در انباره خاک به منظور مقایسه دو طرح مختلف گاوآهن کج ساق در سه زاویه حمله متفاوت ( $7/5^{\circ}$  و  $15^{\circ}$  و  $22/5^{\circ}$ ) صورت گرفت. علاوه بر نیروی مقاومت کششی و نیروی عمودی، تعییرات خواص فیزیکی خاک مانند جرم مخصوص ظاهری خاک شخم خورده و سطح مقطع خاک تخریب شده نیز اندازه گیری گردید. نتایج آزمایشات نشان داد که طرح بهینه گاوآهن کج ساق نیازمند نیروی کشش کمتری نسبت به طرح مرسوم می باشد. نیروی مقاومت کششی بطور معنی داری تحت تاثیر طرح گاوآهن کج ساق قرار گرفته بطوری که کمینه مقاومت کششی متعلق به طرح بهینه گاوآهن کج ساق در زاویه حمله  $7/5^{\circ}$  می باشد. زاویه حمله و نیز تعییر طرح گاوآهن بطور معنی داری بر نیروی عمودی اعمال شده بر گاوآهن موثر است بگونه ای که حداقل نیروی عمودی نیز در طرح بهینه و زاویه حمله  $7/5^{\circ}$  دیده می شود. بیشترین میزان راندمان مصرف انرژی در طرح بهینه و در زاویه حمله  $15^{\circ}$  مشاهده گردید. همچنین کمترین میزان جرم مخصوص ظاهری خاک در همین تیمار مشاهده شد. مصرف نیروی کشش و تاثیر مطلوب گاوآهن بر خاک، طرح بهینه گاوآهن کج ساق را به عنوان جایگزینی مطمئن برای طرح مرسوم به خصوص در اراضی دارای خاکهای فشرده پیش رو می گذارد.

**کلیدواژه:** گاوآهن کج ساق بهینه، انباره خاک، خاک ورزی عمیق، خواص فیزیکی خاک

۱- استادیار بخش مکانیک ارشین های کشاورزی، دانشگاه راز

۲- استاد گروه مکانیک ماشین های کشاورزی، دانشگاه تربیت مدرس

۳- دانشیار بخش مکانیک ماشین های کشاورزی، دانش اه شیراز



## مقدمه

در بسیاری از مناطق، فشردگی خاکهای زراعی به عنوان آفتی جدی برای اراضی کشاورزی محسوب می‌شود. گوريف (۱۹۹۴) اذعان نمود که لایه‌های سخت تولید شده در خاکهای زراعی بیشتر به علت فشار پاشنه‌های گاوآهن برگردان دار و فشار چرخهای تراکتور خصوصاً در اراضی مرطوب می‌باشد. بیشتر کشاورزان در گذشته از زیر شکن‌ها به عنوان ابزاری مناسب برای شکستن لایه‌های سخت خاک به منظور نفوذ بهتر ریشه‌گیاهان در خاک استفاده می‌کردند. کشاورزان پیشین عموماً عملیات خاکورزی عمیق را توسط زیر شکن‌های مرسوم و به ندرت توسط گاوآهن پارالپلو انجام می‌دادند (۲).

در سال ۱۹۸۱ گاوآهن کج ساق به عنوان اختراقی توسط کوکسلی و ویلیامز معرفی شد. گزارشات اولیه که حاکی از راندمان بالای مصرف انرژی این گاوآهن بود، سبب شهرت آن شد (۱۱). توان مورد نیاز این گاوآهن نیز تقریباً در حد زیر شکن‌های مرسوم گزارش شد اما عامل برتری این ابزار نسبت به زیر شکن راندمان بالای آن در مصرف انرژی معرفی گردید (۱۲). پژوهندگان متعددی به بررسی تأثیر شکل هندسی گاوآهن کج ساق بر فرایند شکست خاک از لحاظ مصرف نیرو و تأثیر آن بر خاک بعد از شخم پرداختند (۷ و ۸ و ۹ و ۱۰ و ۴). در کلیه تحقیقات ذکر شده به بررسی پارامترهای هندسی تیغه زاویه حمله و یا زاویه برش و همینطور پارامترهای عملکردی تیغه مانند عرض و عمق کار و نیز سرعت پیشروی تیغه در خاک بر مکانیزم مصرف نیرو پرداخته شد. نتایج تحقیقات محققین قبل حاکی از وجود رابطه مستقیم مولفه‌های عکس العمل افقی و عمودی تیغه با زاویه حمله می‌باشد.

یکی از مهمترین مولفه‌های مصرف انرژی در ابزارهای خاکورز خصوصاً ابزارهای با سطح تماس زیاد با خاک، نیروی سربار عمودی وارد بر ابزار می‌باشد. در این ابزارها اثر فشار سربار به مراتب بیشتر از اثر عواملی چون چسبندگی و اصطکاک داخلی خاک و نیز سرعت پیشروی می‌باشد. با توجه به تأثیر فشار سربار بر نیروی مورد نیاز برای حرکت گاوآهن، طرح جدید (بهینه) گاوآهن کج ساق مورد طراحی و ارزیابی رار گرفت. به منظور اقتاصادی کردن مصرف انرژی گاوآهن کج ساق طرح جدیدی از این ابزار خاکورز طراحی شده که انتظار می‌رود مصرف نیروی مقاومت کششی آن کمتر از نوع مرسوم باشد. هدف اساسی تحقیق حاضر طراحی، ساخت و ارزیابی عملکرد طرح بهینه گاوآهن کج ساق و مقایسه آن با نوع مرسوم می‌باشد. تأثیر زاویه حمله بر عملکرد گاوآهن نیز در هر دو طرح از اهداف دیگر تحقیق حاضر بود.

## ۲- مود و روشهای

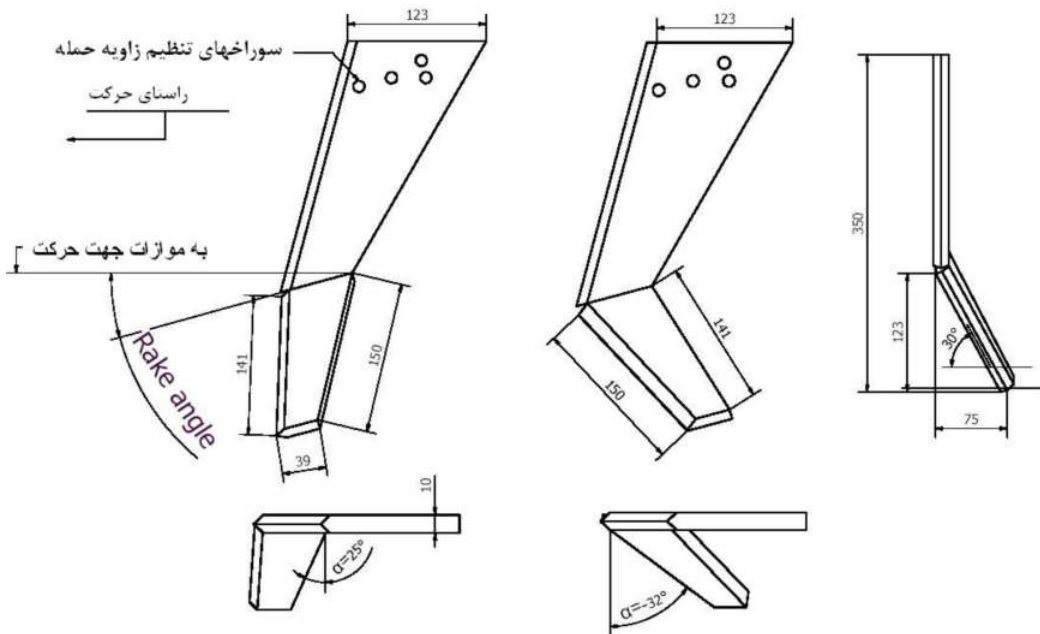
### ۱-۲ هندسه تیغه

به منظور کاهش مقاومت کششی گاوآهن و افزایش راندمان عملیات خاکورزی طرح بهینه گاوآهن کج ساق طراحی گردید. تفاوت اصلی بین طرح بهینه و طرح مرسوم در زاویه بین تیغه گاوآهن و خط عمود بر ساقه می‌باشد (شکل ۱، زاویه  $\alpha$ ). زاویه بین تیغه گاوآهن و خط عمود بر ساقه (شکل ۱، محور Z ها) در طرح مرسوم به اندازه  $25^{\circ}$  به سمت جلو ساقه متامیل بوده حال آنکه این زاویه در طرح بهینه به اندازه  $32^{\circ}$ - به سمت عقب ساقه متامیل می‌باشد. در طرح مرسوم گاوآهن کج ساق خاک تحت الارض ابتدا تحت فشار تیغه گاوآهن بریده شده و ترکهای ناشی از آن تا سطح گسترش می‌یابد. بنابراین خاک دست نخورده و سست نشده بر روی تیغه فشار عمودی اعمال کرده که همین امر موجب افزایش نیروی مقاومت کششی گاوآهن می‌شود. در طرح مرسوم گاوآهن کج ساق، فشار سربار گاوآهن ناشی از وزن خاک دست نخورده و سست نشده روی تیغه می‌باشد. مقدار این فشار در خاک‌های فشرده با دانسیته زیاد، به مراتب بیشتر از خاک‌های سست شده می‌باشد.

تعییر زاویه بین تیغه و خط عمود بر ساقه گاوآهن در طرح بهینه سبب می‌گردد تا اولین نقاطی از خاک که تحت تهاجم تیغه قرار می‌گیرد خاک سطحی باشد. چرخش رو به عقب تیغه نسبت به ساقه باعث می‌گردد تا فرایند شکست خاک از سطح شروع شده و به سمت اعمق گسترش یافته و لذا فشار سربار اعمال شده به گاوآهن از طرف خاک خرد شده و سست شده خواهد بود. کاهش فشار سربار اعمال شده به گاوآهن سبب کاهش مقاومت کششی طرح بهینه می‌گردد. همچنین انتشار ترک‌های کششی در خاک در اثر عبور طرح بهینه گاوآهن کج ساق موجب کاهش نیروی لازم برای شکست خاک می‌شود. این ترکها در نوع مرسوم گاوآهن به صورت ترکهای فشاری-برشی بوده که به نیروی بیشتری برای ایجاد آن نیاز می‌باشد.

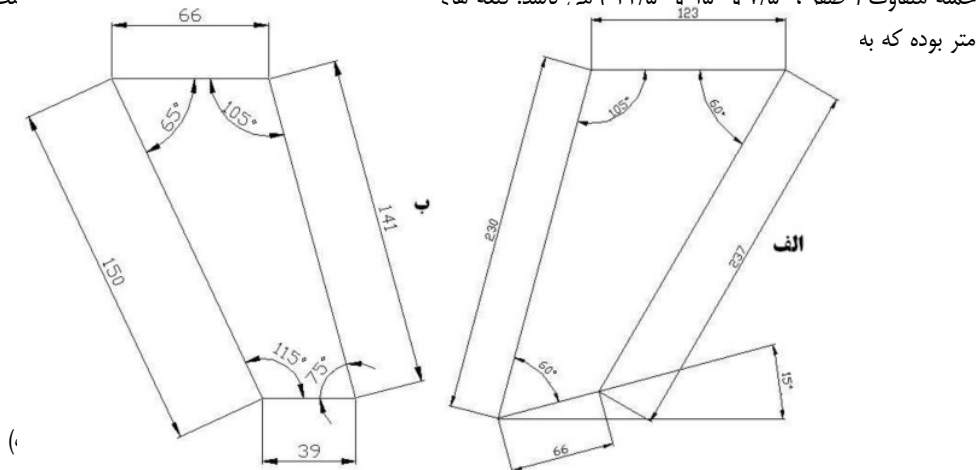


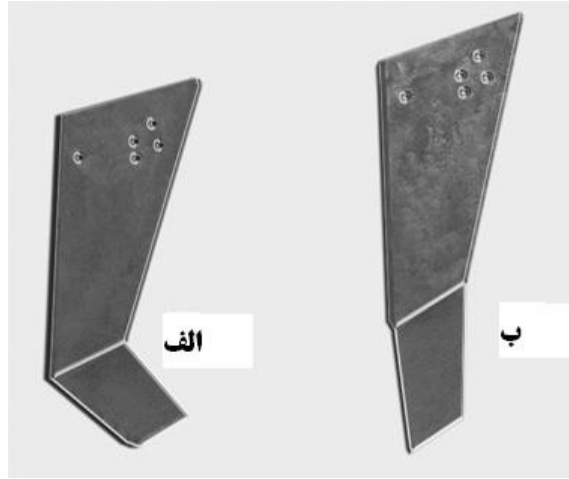
طرح مرسوم گاو آهن کج ساق      طرح بهینه گاو آهن کج ساق



شکل ۱- مقایسه هندسه طرح مرسوم و بهینه گاو آهن کج ساق

شکل ۲ نشان دهنده ابعاد هندسی گاو آهن کج ساق بکار رفته در تحقیق حاضر می باشد. به منظور تأمین چهار زاویه حمله متفاوت، گاو آهن حول محور افقی دوران می کند. سوراخ های نشان داده شده در ساقه گاو آهن در شکل ۳ به منظور تأمین زوایای حمله متفاوت ( صفر ،  $7/5$  و  $15^\circ$  و  $22/5$  ) مم. ناشد. تنگه های مترا بوده که به ۱۰ میلی





شکل ۳- وضعیت ساقه و تیغه نسبت به هم در گاوآهن کج ساق بهینه (الف) و مرسم (ب)

## ۲-۲- مکانیزیم شکست خاک در هر دو طرح گاوآهن

به هنگام حرکت یک تیغه خاکورز ساده در خاک سه مرحله کلی در فرایند شکست خاک مشاهده می شود (۳). در نخستین فاز، رفتار خاک پدیدار می گردد. با نفوذ بیشتر تیغه در خاک، اندازه ناحیه پلاستیک شده (تغییر شکل دائم یافته) گسترش می یابد. آخرین فاز، همان مرحله تولید و انتشار ترک ها می باشد. با حرکت بیشتر ابزار خاکورز در خاک، گوه شکست خاک ظاهر شده و حرکت بیشتر تیغه سبب حرکت و توسعه ناحیه پلاستیک شده در مقابل گوه شکست می گردد.

به منظور توصیف کمی این مراحل می توان از مدل موهر-کولمب استفاده نمود. در این مدل دایره تنش موهر تا آنجا توسعه می یابد که بر خط تنش برشی کولمب مامس شود. در این مرحله خاک به تنش تسلیم رسیده و کرنش های پلاستیک پدیدار می شوند. در این مدل می توان اذعان نمود که خاک در نقطه تسلیم شکسته شده و ترکها منتشر می شود. بنابراین فرض آنکه کلیه نقاط واقع بر ناحیه پلاستیک شده در یک لحظه ترک خورده و تحت تنش بحرانی قرار دارند فرض قابل دفاعی می باشد.

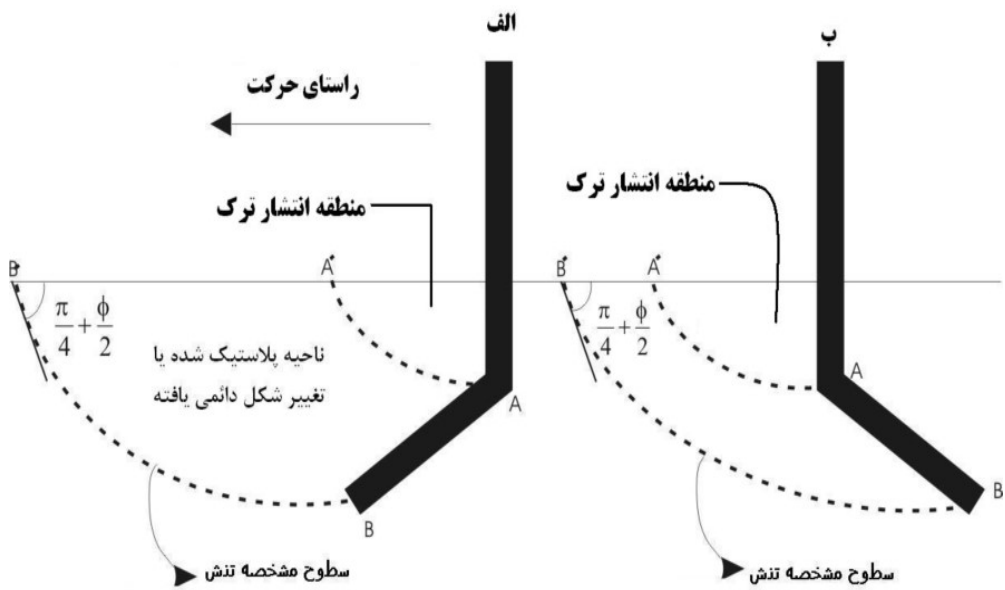
با استفاده از معادلات تعادل در نقطه تسلیم می توان موقعیت ترکها را معلوم نمود. به عنوان مثال برای عنصری از خاک با

زاویه اصطکاک داخلی  $\phi$  که تحت تأثیر تنش تک محوره قرار گرفته است ترک ها سطح خاک را با زاویه  $\frac{\pi}{4} \pm \frac{\phi}{4}$  قطع می کنند (۱). ترکها منحنی های سطح سه بعدی بوده که به سطوح مشخصه تنش موسوم می باشند. شکل نواحی ترک خورده به صورت منحنی های لگاریتمی می باشند که از حل معادلات تعادل به روش تعادل انرژی برای نقاط تسلیم تعیین می شوند (۳).

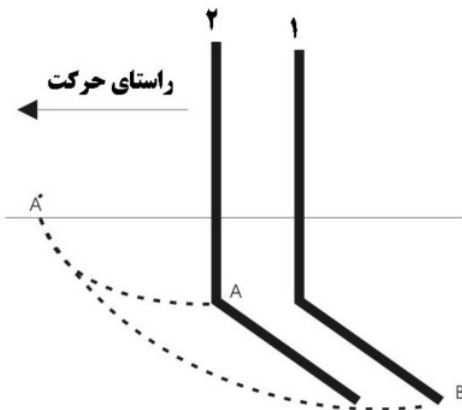
شکل ۴ نشان دهنده منحنی های مشخصه تنش برای هر دو طرح مرسم و بهینه گاوآهن کج ساق می باشد. با حرکت گاوآهن مرسم در خاک، نقطه B نخستین نقطه ای بوده که خاک را فشار داده و اولین منحنی لگاریتمی مشخصه یعنی منحنی

$BB'$  تولید می شود. چون این منحنی ها سطح خاک را در زاویه  $\frac{\pi}{4} \pm \frac{\phi}{4}$  قطع می کنند، شکل دهی دفعی منحنی بزرگ

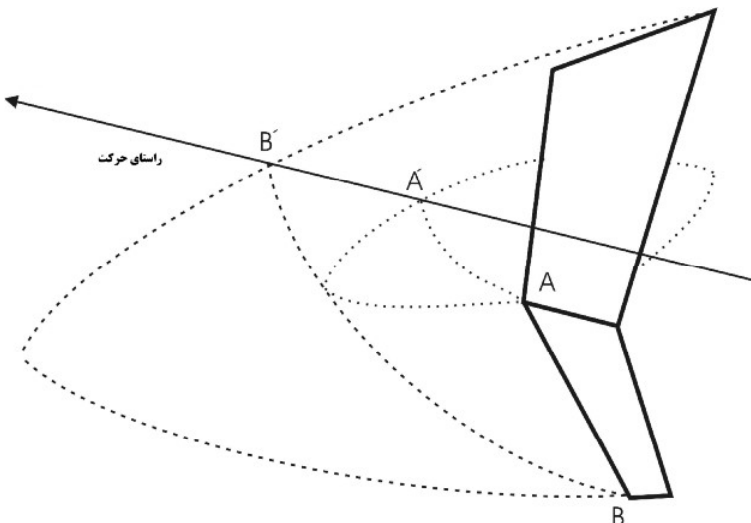
$BB'$  سبب مصرف آنی زیاد نیروی کشش می شود. در طرح بهینه اولین منحنی شکل گرفته  $AA'$  بوده که این منحنی تولید گوه کوچکتری می کند. با ادامه حرکت گاوآهن به سمت جلو قسمتی از منحنی  $BB'$  تولید شده در گام قبلی با منحنی  $AA'$  تولید شده در گام بعد مشترک می شود. اشتراک منحنی های مشخصه با هم موجب کاهش نیروی مورد نیاز جهت شکل گیری نواحی ترک خورده شده که در نهایت باعث کاهش نیروی مقاومت کششی در طرح بهینه گاوآهن کج ساق می گردد. شکل ۵ نحوه برخورد منحنی های مشخصه در گامهای متوالی حرکت برای طرح بهینه گاوآهن کج ساق را نشان می دهد. ذکر این نکته بدینهی به نظر می رسد که اندازه نهایی ترک خورده در هر دو طرح یکسان می باشد (اندازه نهایی این ناحیه شکسته مده به عرض و عمق گاوآهن بستگی دارد). شکل ۶ نمایی سه بعدی از منحنی های مشخصه یا سطوح مشخصه تنش تولید شده در خاک در اثر عبور گاوآهن کج ساق بهینه را نشان می دهد.



شکل ۴- شکل دو بعدی منحنی های مشخصه تنفس در گاوآهن کج ساق مرسوم (الف) و بهینه (ب)



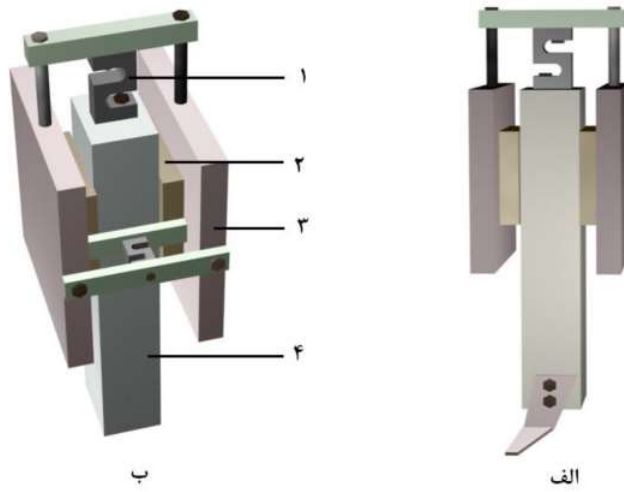
شکل ۵- اشتراک منحنی های مشخصه تنفس در گامهای متواالی حرکت برای طرح بهینه گاوآهن کج ساق(۱و ۲ بترتیب  
گامهای پیشین و پسین حرکت)



شکل ۶- شکل سه بعدی سطوح مشخصه تنش تولید شده طرح بهینه گاوآهن کج ساق

### ۳-۲- ارزیابی آزمایشگاهی گاوآهن

آزمایشات در آزمایشگاه انباره خاک گروه مکانیک ماشین های کشاورزی دانشگاه تربیت مدرس صورت گرفت. ابعاد کلی انباره خاک مورد استفاده  $0.1 \times 0.1 \times 0.8$  متر (ارتفاع  $\times$  عرض  $\times$  طول) بود که نیروی محرکه آن توسط یک الکترو موتور ۲۰ کیلو وات به همراه جعبه دنده حلزونی دور متغیر تأمین می شد. سرعت خطی واحد محمول ادوات از  $0.1 \text{ m/s}$  تا  $3 \text{ m/s}$  قابل تغییر بود. از آنجا که در تحقیق حاضر آثار استاتیکی شکست خاک مورد بررسی قرار می گرفت از حداقل دامنه سرعت خطی استفاده گردید. به منظور اندازه گیری همزمان نیروهای افقی و عمودی وارد بر گاوآهن یک قاب اندازه گیر نیرو مطابق شکل ۷ طراحی و ساخته شد. سیستم مزبور از دو عدد لودسل به منظور اندازه گیری همزمان نیروهای افقی و عمودی تشکیل شده است. مطابق شکل، گاوآهن کج ساق به قسمت تحتانی بلوك فولادی میانی (شکل ۷، شماره ۴) متصل بوده و انتهای فوکانی آن به لودسل اندازه گیری نیروی عمودی متصل می باشد. در وجوده جانبی این قطعه و همینطور وجوده داخلی صفحات میانی (شکل ۷، شماره ۲) شیارهای عمودی با مقطع کروی تعبیه شده که در داخل این شیارها ساقمه های فولادی امکان حرکت قطعه میانی را به طور عمودی فراهم می کند. طول شیار تعبیه شده  $100 \text{ mm}$  بوده که در هر شیار ۵ عدد ساقمه فولادی به قطر  $16 \text{ mm}$  قرار داده شده است. در وجوده خارجی صفحات میانی و نیز سطوح داخلی صفحات جانبی (شکل ۷، شماره ۳) شیارهای افقی مشابهی تعبیه شده که امکان ایجاد حرکت افقی کل سیستم بین دو صفحه جانبی را فراهم می کند. با اعمال یک نیروی مایل به گاوآهن مولفه افقی نیرو سبب حرکت افقی و مولفه عمودی آن سبب حرکت عمودی قطعه میانی متصل به گاوآهن می شود. حرکت افقی و عمودی این قطعه توسط دو لودسل کششی - فشاری (DBBP BONGSHING 500K) مهار شده و اعمال هر نوع نیرویی به گاوآهن توسط این دو لودسل به دو مولفه افقی و عمودی تجزیه می شود. داده برداری نیروهای افقی و عمودی وارد بر گاوآهن با فرکанс  $1 \text{ HZ}$  برداشت شده و مقادیر نیرو پس از اعمال ضربی واستنجی توسط دستگاه ثبات و تجهیزات الحاقی آن (Digital strainmeter Co., LTD) به منظور فراوری نهایی به رایانه منتقل می گردد.



شکل ۷- نمای شماتیک قاب اندازه گیری نیرو، نمای مقابله (الف) و نمای پشت (ب)  
به منظور انتخاب تیمار بهینه از لحاظ مصرف انرژی، برایند نیروهای مقاومت کششی و عمودی طبق رابطه زیر محاسبه  
گردید.

$$F = \sqrt{F_x^2 + F_y^2} \quad (1)$$

در رابطه فوق  $F$  نیروی برایند،  $F_x$  و  $F_y$  بترتیب نیروی مقاومت کششی و نیروی عمودی گاوآهن می باشد.  
نمودار تغییرات نیروی برایند در طول حرکت تیغه رسم شده و سطح محدود به این منحنی و محور افقی (محور جابجایی) محاسبه گردید. میزان مساحت محاسبه شده معرف انرژی مصرف شده توسط هر گاوآهن می باشد.  
بافت خاک مورد آزمایش از نوع Sandy loam با جرم مخصوص ظاهری  $1/8 \text{ Mgm}^{-3}$  و رطوبت بر پایه خشک ۱۸٪ برای کلیه تیمارهای آزمایشی فراهم گردید. جرم مخصوص ظاهری خاک توسط نمونه گیری از نقاط مختلف انباره خاک در عمق ۰-۴۰ cm اندازه گیری شد. همینطور به منظور یکنواخت شدن رطوبت خاک در کل انباره از پوشش پلاستیکی روی خاک قبل از آزمایش استفاده گردید.

مقادیر نیروی افقی و عمودی وارد بر گاوآهن، دانسیته خاک شخم خورده و سطح مقطع خاک بر هم خورده در سه سطح مختلف زاویه حمله ( $7/5^\circ$  و  $15^\circ$  و  $22/5^\circ$ ) و دو طرح مختلف گاوآهن کج ساق (طرح مرسوم و طرح بهینه) و در سه تکرار از ازه گیری شد. همچنین از تقسیم سطح مقطع خاک بر هم خورده بر نیروی کشش، راندمان بر هم خورده خاک در هر تیمار تعیین شد. تیمارهای آزمایش شامل تیغه مرسوم (B<sub>۱</sub>) و تیغه بهینه (B<sub>۲</sub>) بوده که در سه زاویه حمله ( $R_1 = 7/5^\circ$ ,  $R_2 = 15^\circ$ ,  $R_3 = 22/5^\circ$ ) و در سه تکرار مختلف مورد آزمایش قرار گرفتند. تحلیل آماری داده های بدست آمده به منظور تجزیه واریانس و مقایسه میانگین ها به روش دانکن (DMRT) توسط نرم افزار SPSS انجام گرفت.

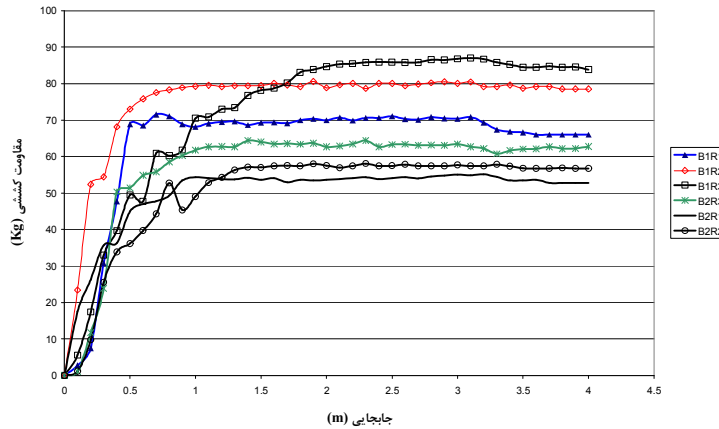
### ۳- نتایج و بحث

#### ۱-۳- نیروی کشش

شکل ۸ نمودار تغییرات نیروی کشش در طول حرکت تیغه در خاک را نشان می دهد. با شروع حرکت تیغه در خاک مقدار نیروی افقی وارد بر تیغه با روند سریعی افزایش می یابد. علت این امر افزایش کرنش های پلاستیک در خاک به لحاظ حرکت گاوآهن می باشد. با ادامه حرکت تیغه در خاک، تغییرات نیروی کشش غیر محسوس و پایدار می گردد. شکل ۸ نشان می دهد که حداقل و حداکثر نیروی کشش به ترتیب متعلق به طرح بهینه در زاویه حمله  $7/5^\circ$  و طرح مرسوم در زاویه حمله  $22/5^\circ$  می باشد.



نیروی کشش پایدار شده گاوآهن کج ساق به طور معنی داری ( $P < 0.05$ ) تحت تأثیر نوع تیغه (B)، زاویه حمله (R) و اثر متقابل آنها قرار دارد (جدول ۱). همینطور مقایسه میانگین مقادیر نیروی کشش با آزمون دانکن (جدول ۲) بیانگر آن است که افزایش زاویه حمله و نیز تغییر طرح تیغه گاوآهن از طریق بهینه به طرح مرسوم موجب افزایش نیروی کشش مورد نیاز می‌گردد. بدین ترتیب به منظور حصول حداقل نیروی کشش می‌باشد از گاوآهن کج ساق طرح جدید در زاویه  $72^\circ$  استفاده نمود.



شکل ۸- نمودار تغییرات نیروی کشش در طول حرکت تیغه در خاک

جدول ۱- تجزیه واریانس مقاومت کششی

$F_s$	MS	SS	df	منابع تغییرات
۱/۸۹۶۶ <sup>ns</sup>	۲/۰۴۰	۴/۰۸۰	۲	تکرار
۸۳۸/۵۳۸۵ <sup>**</sup>	۹۰۱/۸۵۰	۹۰۱/۸۵۰	۱	نوع تیغه (B)
۵۱/۸۴۸۰ <sup>**</sup>	۵۵/۶۷۳	۱۱۱/۵۲۵	۲	زاویه حمله (R)
۸۲/۹۹۱۶ <sup>**</sup>	۸۹/۲۵۸	۱۷۸/۵۱۵	۲	اثر متقابل (BR)
	۱/۰۷۶	۱۰/۷۸۵	۱۰	خطا

\*\*. وجود اختلاف معنی دار به احتمال ۹۹٪

. عدم وجود اختلاف معنی دار ns

جدول ۲ نشان می‌دهد که افزایش زاویه حمله در هر دو طرح موجب افزایش نیروی کشش می‌شود. همچنین جدول فوق نشان می‌دهد که با تغییر زاویه بین لبه برندۀ تیغه از  $32^\circ$  در طرح مرسوم به  $+25^\circ$  در طرح بهینه نیروی مقاومت کششی گاوآهن کج ساق افت می‌نماید. از جمله علل وقوع کاهش نیروی کشش می‌توان به کاهش فشار سربار از یکسو و نیز انتشار ترکهای کششی از سوی دیگر اشاره نمود. فرایند شکست خاک در طرح مرسوم گاوآهن کج ساق از اعمق شروع شده و ترکهای فشاری-برشی به سطح خاک گسترش می‌یابد. در طرح بهینه فرایند شکست خاک در جهت عکس از سطح به اعمق موجب انتشار ترکهای کششی می‌شود. وجود ترکهای کششی سبب ایجاد شکست ترد خاک شده که نیروی افقی مورد نیاز در این شکست به مراتب کمتر از شکستهای فشاری-برشی خاک می‌باشد(۱).

جدول ۲- اثر برهمکنش نوع تیغه و زاویه نفوذ (حمله) بر مقاومت کششی (آزمون دانکن)



$\bar{X}$	طرح جدید	طرح مرسوم	نوع تیغه
میانگین			زاویه حمله
۶۶/۷۹ <sup>A</sup>	۶۳/۷۳ <sup>d</sup>	۶۹/۸۶ <sup>c</sup>	۷/۵ درجه
۶۸/۵۱ <sup>A</sup>	۶۱/۱۰ <sup>e</sup>	۷۵/۹۳ <sup>b</sup>	۱۵ درجه
۷۲/۷۲ <sup>B</sup>	۶۱/۹۷ <sup>de</sup>	۸۳/۴۸ <sup>a</sup>	۲۲/۵ درجه
	۶۲/۲۶ <sup>B</sup>	۷۶/۴۲ <sup>A</sup>	میانگین

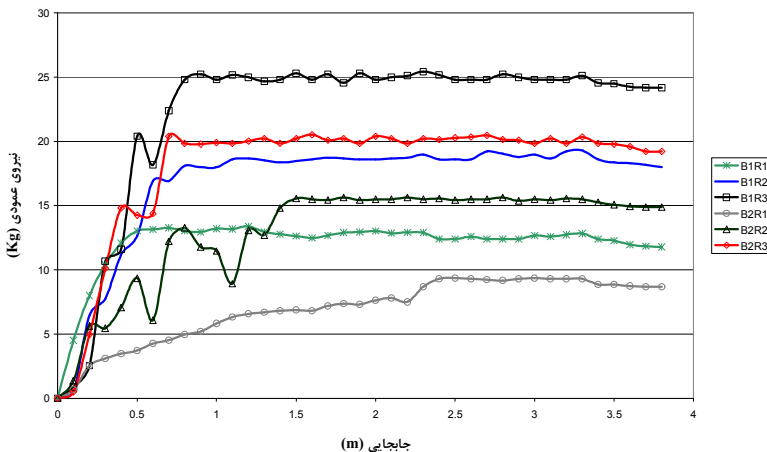
\* . میانگین های ( $\bar{X}$ ) با حروف بزرگ مشترک در ستون، از نظر آماری در سطح ۵٪ با یکدیگر اختلاف معنی دارند.

\*\* . میانگین های ( $\bar{X}$ ) با حروف بزرگ مشترک در ردیف، از نظر آماری در سطح ۱٪ با یکدیگر اختلاف معنی دارند.

\*\*\* . میانگین های با حروف کوچک مشترک، از نظر آماری در سطح ۱٪ با یکدیگر اختلاف معنی دارند.

### ۲-۳ نیروی عمودی

تغییرات نیروی عمودی وارد بر گاوآهن کج ساق در طول حرکت تیغه بیانگر آن است که با افزایش کرنش پلاستیک در خاک به لحاظ حرکت تیغه، نیروی عمودی نیز زیاد شده و پس از شکست مقدار این نیرو پایدار و ثابت می گردد (شکل ۹). مقایسه مقادیر تثبیت شده نیروی عمودی نشان می دهد که مقدار نیروی عمودی هر تیمار طرح بهینه از تیمار مشابه خود در طرح مرسوم کمتر است. روند تغییرات به گونه ای است که حداقل نیروی عمودی وارد بر گاوآهن در طرح بهینه و زاویه حمله  $7/5$  و بیشترین آن در طرح مرسوم و زاویه حمله  $22/5$  مشاهده می شود. از علل عدمه وقوع این فرایند می توان به تعییر مکانیزم شکست خاک در طرح بهینه اشاره نمود. کاهش فشار سربار و انتشار ترکهای کششی از جمله علل مهم این فرایند می باشد.



شکل ۱۰- نمودار تغییرات نیروی عمودی در طول حرکت تیغه در خاک.

تجزیه واریانس نیروی عمودی پایدار شده گاوآهن کج ساق نشان داد که زاویه حمله و نوع تیغه به احتمال ۹۹٪ بر نیروی عمودی موثر است (جدول ۳). همینطور اثر برهمکنش نوع تیغه و زاویه حمله بر نیروی عمودی توسط آزمون دانکن بیانگر آن است که کاهش زاویه حمله و نیز تعییر طرح گاوآهن از طرح مرسوم به بهینه موجب کاهش نیروی عمودی می شود به گونه ای که کمترین عکس العمل عمودی در تیمار B2R3 مشاهده گردید.



جدول ۳- تجزیه واریانس نیروی عکس العمل عمودی

F <sub>s</sub>	MS	SS	df	منابع تغییرات
۱/۶۱۸ <sup>ns</sup>	۲/۰۶۰	۴/۱۲۰	۲	تکرار
۳۴۳/۴۴ <sup>**</sup>	۴۳۷/۲۰	۴۳۷/۲۰	۱	نوع تیغه (B)
۳۵/۲۲ <sup>**</sup>	۴۴/۸۳۵	۸۹/۶۷	۲	زاویه حمله (R)
۴۸/۳۹۰ <sup>**</sup>	۶۱/۶۰	۱۲۳/۲۰	۲	اثر متقابل (BR)
	۱/۲۷۳۵	۱۲/۷۳۵	۱۰	خطا

\* وجود اختلاف معنی دار به احتمال ۹۹٪

<sup>ns</sup> عدم وجود اختلاف معنی دار

به منظور انتخاب تیمار مناسب بین دو تیمار ۱، R<sub>۱</sub> و ۲، R<sub>۲</sub>، سطح زیر منحنی نیروی برایند در مقابل جابجایی که معرف انرژی مصرف شده توسط گاوآهن می باشد برای این دو تیمار محاسبه شد. انرژی مصرفی تیمار طرح بهینه در زاویه حمله ۱۵° به اندازه ۱۴/۷٪ بیشتر از تیمار طرح بهینه در زاویه حمله ۷/۵° می باشد. بنابراین از دیدگاه مصرف انرژی، زاویه حمله ۷/۵ در طرح بهینه مناسب ترین تیمار معرفی می شود.

### ۳-۳ سطح مقطع خاک بر هم خورده و راندمان تخریب خاک

سطح مقطع خاک شکسته شده توسط یک دستگاه پروفیل متر و با تقسیم مساحت به تعدادی محدودی ذوزنقه محاسبه گردید. مقدار سطح مقطع خاک برهم خورده برای کلیه تیمارها محاسبه شد. آنالیز واریانس نشان داد که زاویه حمله و نیز نوع تیغه گاوآهن کچ ساق اثر معنی داری بر سطح مقطع خاک بر هم خورده ندارد. همین طور مقایسه میانگین ها به روش آزمون دانکن نیز اختلاف معنی داری بین تیمارها نشان نداد.

همان طور که قبلاً ذکر گردید راندمان تخریب (برهم خوردن) خاک از تقسیم سطح مقطع خاک بر هم خورده به نیروی کشش مورد نیاز محاسبه گردید. آنالیز واریانس راندمان بر هم خوردنگی خاک نشان می دهد که زاویه حمله و نیز تغییر طرح گاوآهن کچ ساق به طور معنی داری بر راندمان تخریب خاک موثر است (جدول ۴). شکل ۱۰ تغییرات راندمان بر هم خوردنگی خاک در تیمارهای مختلف را نشان می دهد. شکل مزبور نشان می دهد که بیشترین بازده تخریب خاک در تیمار طرح بهینه گاوآهن کچ ساق و در زاویه حمله ۱۵° می باشد. به عبارت دیگر در تیمار ۲، R<sub>۲</sub> به ازای مصرف هر کیلوگرم نیروی کشش cm<sup>2</sup> ۸/۲ از مقطع خاک شکسته شده و خرد می شود، حال آنکه برای تیمار مشابه در طرح مرسوم (۱، R<sub>۱</sub>) این مقدار به ۶/۷ cm<sup>2</sup> کاهش می ابد. با توجه به مطالب ذکر شده اگرچه از دیدگاه مصرف انرژی تیمار ۱، R<sub>۱</sub> کمترین مصرف را دارد اما بازده عملیات خاک ورزی در تیمار ۲، R<sub>۲</sub> بیشتر بوده و لذا توصیه می شود که از این تیمار به عنوان تیمار بهینه نام برد.

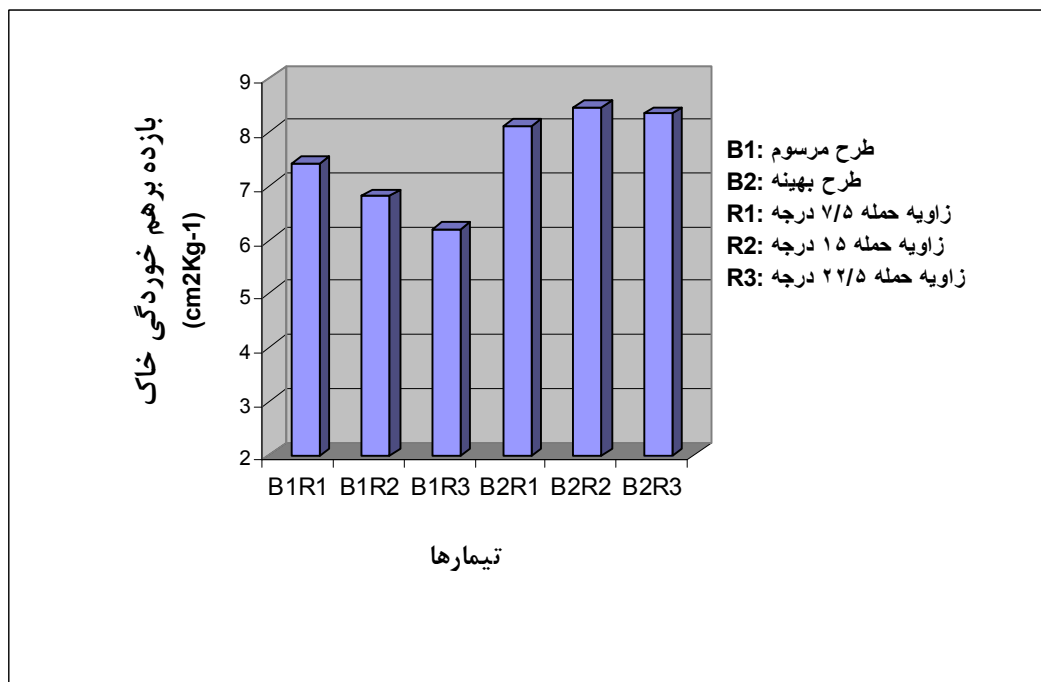


جدول ۴- تجزیه واریانس بازده برهم خوردگی خاک

F <sub>s</sub>	MS	SS	df	منابع تغییرات
۱/۷۸۸۴ <sup>ns</sup>	۰/۰۲۲	۰/۰۴۶	۲	تکرار
۸۲۸/۴۴۶ <sup>**</sup>	۱۰/۱۵۸	۱۰/۱۵۸	۱	(B) نوع تیغه
۳۱/۷۶۰۱ <sup>**</sup>	۰/۳۸۹	۰/۷۷۹	۲	(R) زاویه حمله
۶۵/۵۱۰۵ <sup>**</sup>	۰/۰۸۰۳	۱/۶۰۷	۲	(BR) اثر متقابل
	۰/۰۱۲	۰/۱۲۳	۱۰	اشتباه

\*. وجود اختلاف معنی دار به احتمال ۹۹٪

. عدم وجود اختلاف معنی دار ns



شکل ۱۰- تغییرات بازده برهم خوردگی خاک در تیمارهای مختلف گاوآهن کج ساق

#### ۴-۴- جرم مخصوص ظاهری (دانسیته) خاک

همانطور که قبلاً ذکر شد، جرم مخصوص ظاهری خاک در چهار محدوده عمق از نقاط مختلف انباره خاک بوسیله نمونه‌گیری قبل و بعد از عملیات شخم محاسبه گردید. آنالیز واریانس متوسط کاهش جرم مخصوص ظاهری خاک نشان می دهد که تعویض طرح تیغه تأثیر معنی داری بر دانسیته داشته اما زاویه حمله فاقد تأثیر معنی دار بر عامل فوق می باشد (جدول ۴). اگرچه زاویه حمله تأثیر معنی داری بر کاهش دانسیته خاک ندارد اما مقایسه میانگین های جرم مخصوص ظاهری خاک شخم خورده نشان می دهد که بیشترین دانسیته خاک شخم خورده در بیشترین زاویه حمله وجود دارد. روند کاهش دانسیته خاک شخم خورده با کاهش زاویه حمله در طرح بهینه رویت نمی شود به طوری که کمترین دانسیته خاک شخم خورده در تیمار ۲R<sub>۲</sub> مشاهده می گردد همچنین مقایسه داده های جرم مخصوص ظاهری خاک حاکی از آن است که بین دو تیمار ۲R<sub>۱</sub> که دارای کمترین دانسیته در طرح مرسوم گاوآهن بوده و تیمار ۲R<sub>۲</sub> که کمترین دانسیته را در طرح بهینه دارد به میزان ۳۳/۴ درصد در جرم



مخصوص ظاهری خاک شخم خورده اختلاف مشاهده می‌شود ( طرح بهینه کمتر است ) به نظر می‌رسد که حداقل جرم مخصوص ظاهری خاک در تیمار ۲R ب لحاظ واپیچشی خاک و ایجاد ترکهای کششی در خاک می‌باشد. به عبارت دیگر علاوه بر مصرف نیروی کشش کمتر و راندمان بیشتر عملیات خاکورزی، تیمار ۲R دارای توانایی لازم در خرد کردن لایه‌های خاک را نیز می‌باشد.

جدول ۵- تجزیه واریانس دانسیته (چگالی) خاک شخم خورده

<b>F<sub>s</sub></b>	<b>MS</b>	<b>SS</b>	<b>df</b>	<b>منابع تغییرات</b>
۰/۰۱۵۲ <sup>ns</sup>	.	.	۲	تکرار
۵/۰۲۵۶ <sup>**</sup>	۰/۰۱۱	۰/۰۱۱	۱	نوع تیغه (B)
۱/۲۸۹۱ <sup>ns</sup>	۰/۰۰۳	۰/۰۰۶	۲	زاویه حمله (R)
۰/۲۲۰۹ <sup>ns</sup>	.	۰/۰۰۱	۲	اثر متقابل (BR)
	۰/۰۰۲	۰/۰۲۲	۱۰	خطا

\* وجود اختلاف معنی‌دار به احتمال ۹۹٪

<sup>ns</sup> عدم وجود اختلاف معنی‌دار

#### نتیجه گیری

- ۱- طرح بهینه گاوآهن کج ساق معرفی شده در تحقیق حاضر از لحاظ مصرف انرژی نسبت به طرح مرسوم آن مقرن به صرفه بوده که از مهمترین دلایل آن می‌توان به مکانیزم خاص شکست خاک در این طرح اشاره نمود.
- ۲- مقاومت کششی گاوآهن کج ساق بهینه کمتر از نوع مرسوم آن بوده و کمینه مقاومت کششی در هر دو طرح در زاویه حمله ۷/۵° مشاهده می‌شود.
- ۳- در کلیه تیمارهای آزمایش شده نیروی عمودی اعمالی به طرح بهینه گاوآهن کج ساق از تیمار مشابه طرح مرسوم کمتر بوده به طوری که حداقل نیروی عمودی در طرح بهینه در کمترین زاویه حمله مشاهده می‌شود.
- ۴- محاسبه سطح زیر منحنی نیروی برایند در مقابل جایجایی بیانگر آن است که کمترین میزان مصرف انرژی متعاقب به طرح بهینه گاوآهن کج ساق و در کمترین زاویه حمله می‌باشد.
- ۵- برخلاف طرح مرسوم گاوآهن کج ساق، در طرح بهینه حداکثر راندمان برهم خوردگی خاک در حداقل زاویه حمله رویت نشده بلکه تیمار طرح بهینه در زاویه حمله ۱۵° دارای بیشترین بازده تخریب و بر هم خوردگی خاک می‌باشد. نتایج نشان دهنده راندمان تخریب خاک بیشتری در طرح بهینه می‌باشد به طوری که بهترین تیمار طرح بهینه از لحاظ راندمان تخریب خاک، ۱۴٪ بیش از بهترین تیمار طرح مرسوم در فرایند شکست خاک موثر است.
- ۶- کمترین دانسیته خاک شخم خورده در طرح بهینه گاوآهن کج ساق و در زاویه حمله ۱۵° وجود دارد. حداکثر کاهش دانسیته خاک به اندازه ۳۳/۴٪ در همین تیمار ملاحظه گردید.
- ۷- اگرچه از لحاظ میزان مصرف انرژی تیمار ۱R در سطح حداقل مصرف انرژی قرار دارد اما می‌توان با تقبل هزینه ۱۴٪ انرژی بیشتر در تیمار ۲R به خاکورزی مطلوب تری دست یافته و نیز از راندمان مصرف انرژی بیشتری برخوردار شد.



### منابع مورد استفاده

- 1- Aluko, O . B. And D. A. Seig. 2000. An experimental investigation of the characteristics of and conditions for brittle fracture in two dimensional soil cutting. *Soil and Tillage Research.* 57(3) : 143-157.
- 2- Anonymous, 1987. Ripping up hardpan without erosion. Alberta Report ( January 5 ).
- 3- Chen, W.F. and E. Mizuno. 1990. *Nonlinear analysis in soil mechanics.* Elsevier Science, Amsterdam, 661 pp.
- 4- Durairaj, C. and M. Balasubramanian. 1997. A method for dynamic measurement of soil failure patterns caused by tillage tools. *Soil and Tillage Research.* 41: 115-121.
- 5- Durairaj, C. , M. Balasubramanian and K. Rangasamy. 1998. An assessment of soil structural changes induced by bentleg ploughs. *Soil and Tillage Research.* 49: 139-145.
- 6- Gueirf, J. , 1994. Effect of compaction on soil strength parameters. In: Soane, B . D., Van Ouwerkerk, C. (Eds), *Soil compaction in crop production, Development in Agric. Eng . Series 11.* Elsevier, Amsterdam, The Netherlands, pp.191-214.
- 7- Harrison, HP. And Z.J. Licsko 1989a. Soil reacting wrenches and dynamics for three models of bentleg plows. *Trans. of the ASAE.* 32(1). 50-53.
- 8- Harrison, HP. 1990 , Soil reaction for two tapered bentleg plow. *Trans. of the ASAE.* 30(1). 1473-1476.
- 9- Majidi Iraj, H. and M . H . Raoufat.1997. Power requirement of a bentleg plow and its effects on soil physical conditions. *Iran Agr . Res.* 16(1): 1-16.
- 10- Raoufat, M . H . and S . Firuzi. 1998. Field evaluation of dual bentleg plow. *Iran Agr . Res.* 17(1): 67-82.
- 11- Pidgeon, J . D. 1983. ‘Paraplow’- A new approach to soil loosening. *ASAE paper no. 83-2136.* st. joseph, MI : ASAE.
- 12- Williams, M. 1981. Enter- A new kind of plow. *Power Farming Magazine* (October): 34-35.



## Design, development and evaluation of a modified bentleg plow to increase energy usage efficiency

**ABSTRACT:** The present study was conducted to design and develop a new shape of bentleg plow (BL) to economize energy usage. The main difference between modified and conventional BL plow is the direction of angle between cutting blade and the line perpendicular to the plow shank. Soil-bin tests were conducted to study the performance of the modified plow as compared to conventional one. The draft and vertical force requirement was measured for both designs at three rake angles ( $7.5^\circ$ ,  $15^\circ$  and  $22.5^\circ$ ). Changes in draft force requirement, vertical force and soil physical properties including plowed soil bulk density and cross-sectional area of soil disturbed were measured and compared for both designs. Soil disturbance efficiency was also calculated for all treatments. Also the energy usage of each treatment was calculated. Draft force was significantly affected by blade type and rake angle and was minimum in modified BL plow at rake angle of  $7.5^\circ$ . Vertical force was significantly affected by blade type and rake angle, so the least energy consumer treatment was modified BL plow at minimum rake angle. Other results show that the modified bentleg plow is the most energy efficient treatment when operating at rake angle of  $15^\circ$ . Minimum Plowed soil bulk density was observed in the energy efficient treatment. The lower draft requirement, lower energy usage and considerable improvement in soil physical conditions would suggest adoption of modified bentleg plow as a replacement for conventional model; it is especially true where the soil suffers from excessive compaction.

**Keywords:** Modified bentleg plow; Soil bin; Deep tillage; Soil physical property